

# Влияние высокого давления на кристаллическую, магнитную структуру и спектры рамановского рассеяния света мanganита $\text{Pr}_{0.7}\text{Ba}_{0.3}\text{MnO}_3$

Д. П. Козленко<sup>+</sup>, Т. А. Чан<sup>+,\*</sup>, А. В. Труханов<sup>×</sup>, С. Е. Кичанов<sup>+</sup>, С. В. Труханов<sup>×</sup>, Л. С. Дубровинский<sup>◦1)</sup>,  
Б. Н. Савенко<sup>+</sup>

<sup>+</sup> Объединенный институт ядерных исследований, 141980 Дубна, Россия

<sup>\*</sup> Тульский государственный университет, 300600 Тула, Россия

<sup>×</sup> НПЦ НАН Беларусь по материаловедению, 220072 Минск, Республика Беларусь

<sup>◦</sup>Bayerisches Geoinstitut, Universität Bayreuth, D-95440 Bayreuth, Germany

Поступила в редакцию 17 августа 2011 г.

После переработки 30 августа 2011 г.

Проведено исследование кристаллической, магнитной структуры и спектров рамановского рассеяния света мanganита  $\text{Pr}_{0.7}\text{Ba}_{0.3}\text{MnO}_3$  методами нейтронной дифракции в диапазоне давлений до 5 ГПа, рентгеноносской дифракции и рамановской спектроскопии в диапазоне до 30 ГПа. Определены барические зависимости параметров и объема элементарной ячейки, межатомных связей Mn–O в орторомбической структуре симметрии  $I\bar{m}ma$ , а также частот изгибающих и растягивающих колебательных мод кислородных октаэдров. При давлении  $P = 1.9$  ГПа в области низких температур обнаружен магнитный фазовый переход из исходного ферромагнитного (ФМ) основного состояния ( $T_C = 197$  К) в антиферромагнитное (АФМ) состояние А-типа ( $T_N = 153$  К). Фазы ФМ и АФМ сосуществуют в диапазоне давлений до 5.1 ГПа и характеризуются отрицательным,  $dT_C/dP = -2.3$  К/ГПа, и положительным,  $dT_N/dP = 8$  К/ГПа, барическими коэффициентами температур Кюри и Нееля соответственно. Барическое поведение температуры Кюри в  $\text{Pr}_{0.7}\text{Ba}_{0.3}\text{MnO}_3$  резко отличается от других мanganитов близкого состава с орторомбической структурой симметрии  $Pnma$  и ромбоэдрической структурой симметрии  $R\bar{3}c$ , в которых ФМ-фаза характеризуется положительными значениями  $dT_C/dP$ . Обсуждаются структурные механизмы данных явлений.

**1. Введение.** Перовскитоподобные мanganиты  $\text{R}_{1-x}\text{A}_x\text{MnO}_3$  (R – редкоземельный, A – щелочноземельный элементы) проявляют большое разнообразие физических свойств в зависимости от порядкового номера и концентрации R и A элементов. Сильная корреляция магнитных, электронных и транспортных свойств мanganитов вызывает их высокую чувствительность к изменению термодинамических параметров (температуры, давления) и внешним воздействиям (магнитному полю). Ярким примером является эффект колоссального магнетосопротивления, открывающий широкие перспективы их использования в устройствах хранения информации и датчиках магнитного поля [1]. Магнитные свойства мanganитов определяются балансом двух конкурирующих взаимодействий: двойного обмена, связанного с выигрышем в кинетической энергии за счет переноса делокализованных ( $e_g$ ) электронов в цепочках  $\text{Mn}^{3+}–\text{O}^{2-}–\text{Mn}^{4+}$  и способствующего ферромагнитному (ФМ) упорядочению магнитных мо-

ментов Mn, и антиферромагнитного (АФМ) сверхобмена между магнитными моментами Mn, сформированными локализованными ( $t_{2g}$ ) электронами [1, 2]. Двойной обмен является доминирующим взаимодействием в соединениях со сравнительно большими значениями среднего радиуса  $\langle r_A \rangle$  катионов (R, A):  $\text{R}_{1-x}\text{Sr}_x\text{MnO}_3$ ,  $\text{R}_{1-x}\text{Ba}_x\text{MnO}_3$  (R = La, Pr, Nd),  $\text{La}_{1-x}\text{Ca}_x\text{MnO}_3$ . Оно приводит к их переходу из парамагнитного диэлектрического в ферромагнитное металлическое состояние в области концентраций  $0.2 < x < 0.5$ . Максимальное значение температуры Кюри  $T_C$ , близкой к температуре перехода диэлектрик–металл  $T_{IM}$ , достигается при уровне додирования  $x \sim 0.3–0.35$  и зависит от  $\langle r_A \rangle$  [1, 2].

Недавние исследования показали, что воздействие высокого давления приводит к значительным изменениям физических свойств мanganитов с оптимальным уровнем допирования, причем характер этих изменений сильно зависит от симметрии кристаллической структуры [3–7]. В соединениях  $\text{La}_{0.75}\text{Ca}_{0.25}\text{MnO}_3$  и  $\text{Pr}_{0.7}\text{Ca}_{0.3}\text{MnO}_3$  с орторомбической кристаллической структурой симметрии  $Pnma$

<sup>1)</sup>L.S. Dubrovinsky.

при воздействии высокого давления ( $P \sim 2$  ГПа) наблюдалось подавление исходного ФМ-состояния и появление нового АФМ-состояния А-типа [3, 4]. При этом ФМ- и АФМ-фазы сосуществуют друг с другом в диапазоне давлений до 5 ГПа, а температура Кюри демонстрирует аномальный рост с барическим коэффициентом 12 К/ГПа для  $\text{La}_{0.75}\text{Ca}_{0.25}\text{MnO}_3$  [3]. В спектрах рамановского рассеяния света  $\text{La}_{0.75}\text{Ca}_{0.25}\text{MnO}_3$  также была обнаружена аномальная барическая зависимость так называемой ян-теллеровской растягивающей фононной моды колебаний кислородных октаэдров с симметрией  $B_{2g}$  [6]. В то же время в соединении  $\text{La}_{0.7}\text{Sr}_{0.3}\text{MnO}_3$  с ромбоэдрической кристаллической структурой симметрии  $R\bar{3}c$  основное ферромагнитное состояние остается стабильным в диапазоне давлений до 8 ГПа, а температура Кюри возрастает со значительно меньшим барическим коэффициентом, 4 К/ГПа [7].

Предыдущие исследования оптимально допированных мanganитов при воздействии высоких давлений были сконцентрированы на орторомбических соединениях симметрии  $Pnma$ , допускающей реализацию статического кооперативного эффекта Яна–Теллера и анизотропное сжатие кислородных октаэдров, и ромбоэдрических соединениях симметрии  $R\bar{3}c$ , особенностями которой являются изотропность кислородных октаэдров и отсутствие статического кооперативного эффекта Яна–Теллера. В то же время воздействие высокого давления на атомную, магнитную структуру и различные свойства орторомбических мanganитов с промежуточным типом симметрии  $I\bar{m}ma$  ( $\text{R}_{1-x}\text{Ba}_x\text{MnO}_3$ ) ( $\text{R} = \text{La}, \text{Pr}$ ) [8, 9] остается малоизученным. Данный тип симметрии характеризуется отсутствием статического кооперативного эффекта Яна–Теллера, однако допускает реализацию анизотропного сжатия кислородных октаэдров. Настоящая работа посвящена исследованию влияния высокого давления на кристаллическую, магнитную структуру и спектры рамановского рассеяния света соединения  $\text{Pr}_{0.7}\text{Ba}_{0.3}\text{MnO}_3$  методами нейтронной дифракции, рентгеновской дифракции и рамановской спектроскопии.

**2. Описание эксперимента.** Поликристаллические образцы  $\text{Pr}_{0.7}\text{Ba}_{0.3}\text{MnO}_3$  были приготовлены стандартным методом твердофазной реакции аналогично процедуре, описанной в работе [8].

Эксперименты по рентгеновской дифракции в диапазоне давлений до 30 ГПа при комнатной температуре проводились с помощью специального дифрактометра, состоящего из высокопоточного генератора рентгеновского излучения FRD (Mo–К $\alpha$  излучение с  $\lambda = 0.7115 \text{ \AA}$ ), фокусирующей опти-

ческой системы FluxMax и детектора Bruker APEX CCD. Образец помещался в камеру высокого давления с алмазными наковальнями [10] в рениевую гаскету с диаметром отверстия 150 мкм. Диаметр рабочей площадки наковален составлял 300 мкм. В качестве передающей давление среды использовалась смесь метанол–этанол в соотношении 4:1. Давление в камере измерялось по сдвигу линии люминесценции рубина с точностью 0.05 ГПа. Для оценки градиентов давления в различные области рабочего объема гаскеты помещались микрокристаллы рубина с размером около 7 мкм. Величина градиента распределения давления на образце не превышала 15% в исследуемом диапазоне давлений. Для дополнительной калибровки давления к образцу добавлялось небольшое количество золота. Для конвертации двумерных дифракционных данных в одномерные дифракционные спектры использовалась программа FIT2D [11]. Анализ дифракционных данных проводился с помощью программы FullProf [12]. Спектры рамановского рассеяния света измерялись на спектрометре LabRam (NeHe-лазер с длиной волны 632 нм, конфокальная щель 110 мкм,  $\times 50$  объектив).

Эксперименты по нейтронной дифракции проводились на спектрометре ДН-12 [13] импульсного высокопоточного реактора ИБР-2 (ЛНФ им. И.М. Франка, ОИЯИ, Дубна) с использованием камер высокого давления с сапфировыми наковальнями [14] в диапазонах внешних высоких давлений 0–5 ГПа и температур 10–300 К. Дифракционные спектры измерялись при углах рассеяния  $2\theta = 90^\circ$  и  $45.5^\circ$ , для которых разрешение дифрактометра на длине волны  $\lambda = 2 \text{ \AA}$  составляло  $\Delta d/d = 0.02$  и 0.025 соответственно. Характерное время измерения одного спектра 20 ч. Объем исследуемых образцов составлял  $V \sim 2.5 \text{ mm}^3$ . Давление в камере измерялось по сдвигу линии люминесценции рубина с точностью 0.05 ГПа. Анализ дифракционных данных производился методом Ритвельда с помощью программ MRIA [15] (кристаллическая структура) и FullProf [12] (магнитная структура).

**3. Полученные результаты и обсуждение.** Рентгеновские дифракционные спектры  $\text{Pr}_{0.7}\text{Ba}_{0.3}\text{MnO}_3$ , измеренные в диапазоне давлений до 30 ГПа при комнатной температуре (рис. 1), соответствуют орторомбической кристаллической структуре симметрии  $I\bar{m}ma$  [8]. Рассчитанные на основе анализа дифракционных данных по методу Ритвельда зависимости параметров элементарной ячейки от давления показаны на рис. 2. Коэффициенты линейной сжимаемости  $k_i = -(1/a_{i0})(da_i/dP)_T$  составляют  $k_a = 0.0008$ ,  $k_b =$

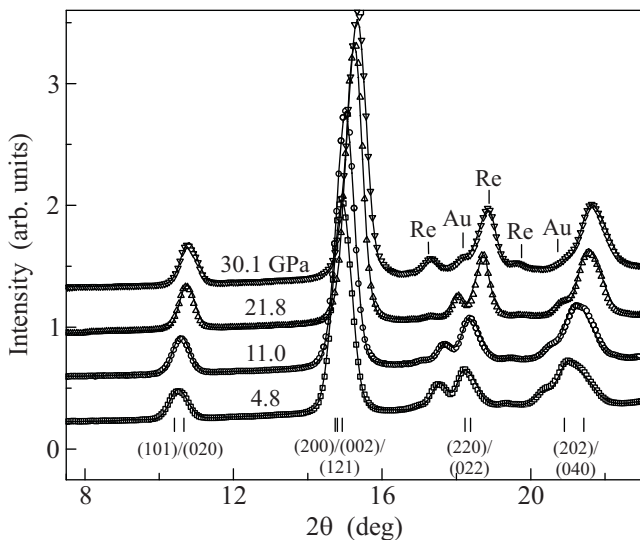


Рис. 1. Участки рентгеновских дифракционных спектров  $\text{Pr}_{0.7}\text{Ba}_{0.3}\text{MnO}_3$ , полученных при различных давлениях и комнатной температуре. Показаны экспериментальные точки, рассчитанные профили, положения и индексы наиболее интенсивных рефлексов, а также дополнительные рефлексы от Re-гаскеты и Au

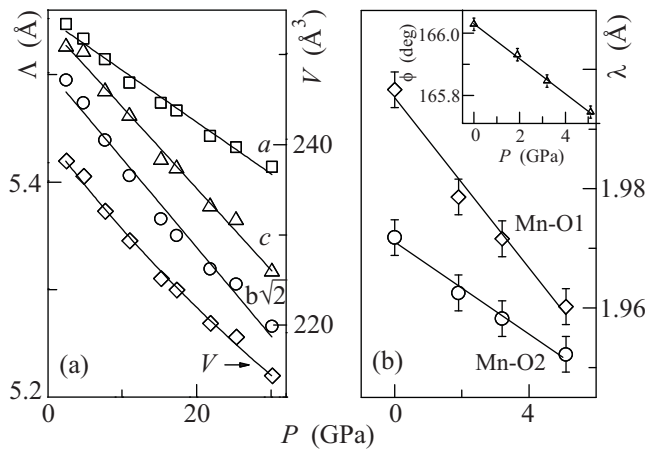


Рис. 2. Зависимости параметров  $\Lambda$  и объема  $V$  элементарной ячейки  $\text{Pr}_{0.7}\text{Ba}_{0.3}\text{MnO}_3$  от давления, интерполированные линейными функциями и уравнением Берча–Мурнагана (а). Зависимости длин  $\lambda$  связей Mn–O1, Mn–O2, среднего валентного угла Mn–O–Mn (вставка) от давления при комнатной температуре и их линейная интерполяция (б)

$0.0014$ ,  $k_c = 0.0013 \text{ ГПа}^{-1}$ . Барическая зависимость объема элементарной ячейки (рис. 2) аппроксимировалась уравнением состояния Берча–Мурнагана [16]:  $P = \frac{3}{2}B_0(x^{-7/3} - x^{-5/3})[1 + \frac{3}{4}(B' - 4)(x^{-2/3} - 1)]$ , где  $x = V/V_0$  – относительное изменение объема,  $V_0$  – объем элементарной ячейки при  $P = 0$ ,

$B_0 = -V(dP/dV)_T$  и  $B' = (dB_0/dP)_T$  – модуль всестороннего сжатия и его производная по давлению. Полученные значения составили  $B_0 = 144(5)$  ГПа,  $B' = 4(1)$ ,  $V_0 = 240.8(7) \text{ \AA}^3$ . Величина  $B_0$  для  $\text{Pr}_{0.7}\text{Ba}_{0.3}\text{MnO}_3$  несколько меньше по сравнению с аналогичными значениями для других мanganитов близкого состава:  $\text{La}_{0.7}\text{Sr}_{0.3}\text{MnO}_3$  (167 ГПа) [7] и  $\text{La}_{0.75}\text{Ca}_{0.25}\text{MnO}_3$  (178 ГПа) [3].

Нейтронные дифракционные спектры  $\text{Pr}_{0.7}\text{Ba}_{0.3}\text{MnO}_3$ , полученные при различных давлениях и температурах, представлены на рис. 3. При нормальном давлении и температуре ниже  $T_C = 197$  К наблюдается увеличение интенсивности дифракционных пиков  $(200)/(002)/(121)$  и  $(101)/(020)$ , расположенных на  $d \sim 2.78$  и  $3.91 \text{ \AA}$ , что указывает на формирование основного ферромагнитного состояния. Величина магнитного момента марганца составляет  $\mu_{\text{FM}} = 3.6(1) \mu_{\text{B}}$  при  $T = 10$  К в соответствии с данными работы [8]. В орторомбической структуре симметрии  $I\bar{m}ma$  кислородные октаэдры содержат два типа неэквивалентных связей: одну пару Mn–O1, ориентированную вдоль кристаллографической оси  $b$ , и две пары Mn–O2 одинаковой длины, лежащие в плоскости  $(ac)$ . С повышением давления происходит анизотропное сжатие кислородных октаэдров вдоль оси  $b$ , что проявляется в большем значении коэффициента линейной сжимаемости  $k_i = -(1/l_{\text{Mn}-\text{O}i})(dl_{\text{Mn}-\text{O}i}/dP)_T$  ( $i = 1, 2$ ) для связи Mn–O1 по сравнению со связью Mn–O2:  $k_{\text{Mn}-\text{O}1} = 0.0035$  и  $k_{\text{Mn}-\text{O}2} = 0.0019 \text{ ГПа}^{-1}$  соответственно (рис. 2). Среднее значение валентного угла Mn–O–Mn  $\phi$  уменьшается от  $166.0^\circ$  до  $165.7^\circ$  в диапазоне давлений 0–5.1 ГПа (рис. 2б, вставка).

При высоком давлении,  $P = 1.9$  ГПа, в области температур ниже 190 К также наблюдался дополнительный вклад в интенсивность дифракционных пиков  $(200)/(002)/(121)$  и  $(101)/(020)$ , соответствующий формированию ФМ-фазы. Кроме того, при температурах ниже  $T_N = 153$  К обнаружено появление новых магнитных рефлексов  $(010)$  и  $(111)$  на  $d \sim 7.50$  и  $3.44 \text{ \AA}$  (рис. 3). Анализ экспериментальных данных показал, что они соответствуют появлению антиферромагнитной фазы с упорядочением A-типа [3], которая сосуществует с исходной ФМ-фазой. Магнитные моменты Mn в данной АФМ-структуре лежат в плоскостях  $(ac)$ . Они ориентированы параллельно друг другу в пределах этих плоскостей и меняют направление на противоположное в соседних плоскостях, перпендикулярных оси  $b$  орторомбической структуры. Значения магнитных моментов при  $T = 10$  К для ФМ- и АФМ-фаз составляют  $\mu_{\text{FM}} = 3.2(1) \mu_{\text{B}}$  и  $\mu_{\text{AFM}} = 1.8(1) \mu_{\text{B}}$  соответственно. С повышением

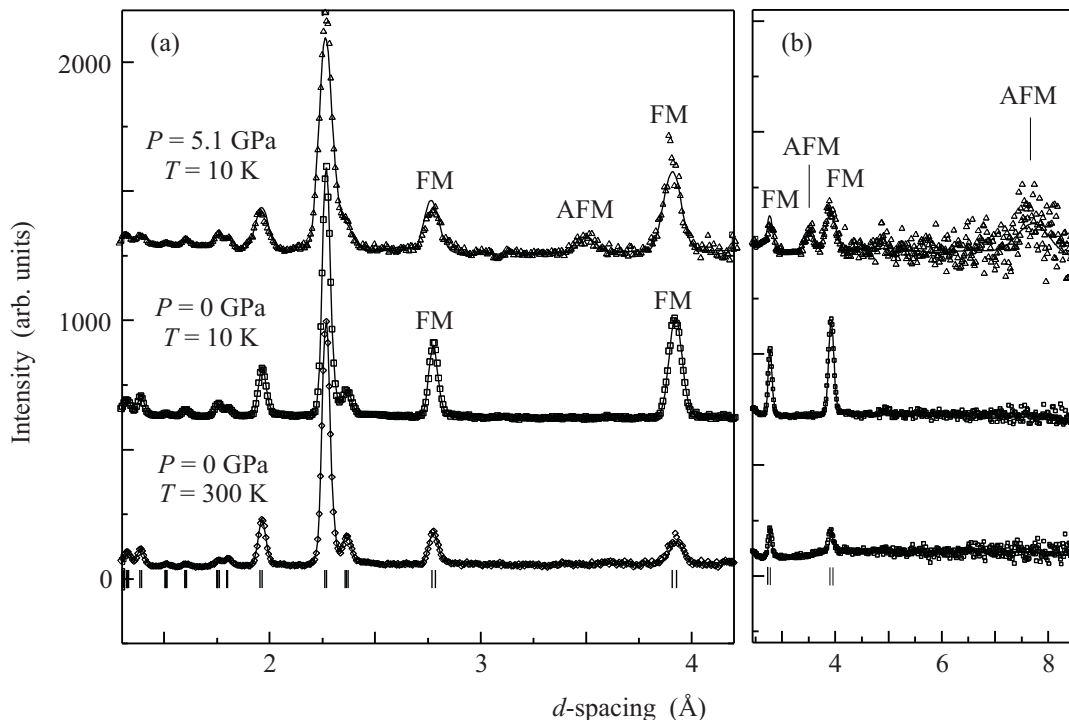


Рис. 3. Участки нейтронных дифракционных спектров  $\text{Pr}_{0.7}\text{Ba}_{0.3}\text{MnO}_3$ , измеренных при  $P = 0$  и  $5.1$  ГПа,  $T = 295$  и  $10$  К, углы рассеяния  $2\theta = 90^\circ$  (а),  $2\theta = 45.5^\circ$  (б), обработанные по методу Ритвельда. Показаны экспериментальные точки и вычисленный профиль. Вертикальными штрихами указаны рассчитанные положения структурных дифракционных пиков. Наиболее интенсивные АФМ-пики и пики с ФМ-вкладом помечены символами “AFM” и “FM” соответственно

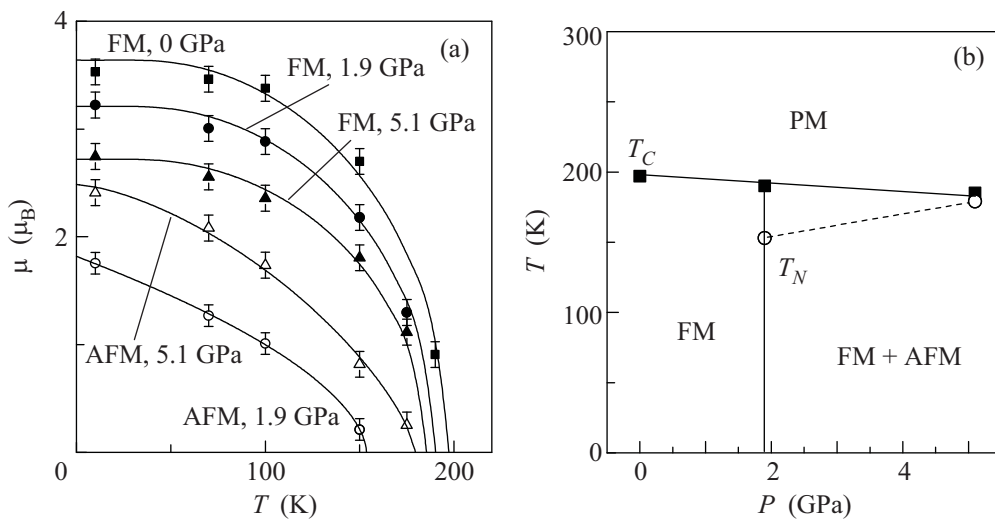


Рис. 4. Температурные зависимости магнитных моментов марганца для ФМ- и АФМ-фаз при различных давлениях и их интерполяция, соответствующая описанию в тексте (а). Магнитная  $P$ - $T$ -фазовая диаграмма  $\text{Pr}_{0.7}\text{Ba}_{0.3}\text{MnO}_3$  (б)

давления до  $5.1$  ГПа величина  $\mu_{\text{FM}}$  уменьшается до  $2.7(1)\mu_B$ , а  $\mu_{\text{AFM}}$  увеличивается до  $2.5(1)\mu_B$ .

Температурные зависимости магнитных моментов в существующих ФМ- и АФМ-фазах  $\text{Pr}_{0.7}\text{Ba}_{0.3}\text{MnO}_3$  и полученная магнитная  $P$ - $T$ -фазовая диаграмма показаны на рис. 4. Для их интерполяции в АФМ-фазе использовалась функция  $\mu_{\text{AFM}} = \mu_{\text{AFM}(0)}[1 - (T/T_N)^\alpha]^\beta$ , а в ФМ-фазе – функция

описывающая поведение магнитного момента ферромагнетика в приближении молекулярного поля [17]:

$$\frac{\mu_{\text{FM}}}{\mu_{\text{FM}(0)}} = B_S \left( \frac{3S}{S+1} \frac{\mu_{\text{FM}}}{\mu_{\text{FM}(0)}} \frac{T_C}{T} \right),$$

где  $B_S$  – функция Бриллюэна,  $S$  – спин ионов Mn ( $S = 3/2$ ),  $\mu_{\text{FM}(0)}$  – магнитный момент при  $T = 0$ .

Качественное различие температурных зависимостей магнитных моментов подтверждает предположение о существовании объемных областей ФМ- и АФМ-фаз под давлением и позволяет исключить альтернативную модель скошенного АФМ-состояния. С повышением давления происходит уменьшение температуры Кюри от 197 (0 ГПа) до 185 (5.1 ГПа) К с барическим коэффициентом  $dT_C/dP = -2.3 \text{ К/ГПа}$ . При этом температура Нееля увеличивается от 153 (1.9 ГПа) до 179 (5.1 ГПа) К с барическим коэффициентом  $dT_N/dP = 8 \text{ К/ГПа}$ . Такое поведение резко контрастирует с другими близкими по составу мanganитами,  $\text{La}_{0.7}\text{Sr}_{0.3}\text{MnO}_3$ ,  $\text{La}_{0.75}\text{Ca}_{0.25}\text{MnO}_3$ , где при воздействии высокого давления наблюдается увеличение температуры Кюри со значительными барическими коэффициентами [3–7]. В рамках модели двойного обмена температура Кюри мanganитов определяется шириной зоны носителей заряда  $W$ , которая зависит от средних значений межатомного угла Mn–O–Mn  $\phi$  и длины связи Mn–O  $l$  как  $T_C \sim W \sim \cos^2 \phi / l^{3.5}$  [5]. Результаты настоящей работы показывают, что в  $\text{Pr}_{0.7}\text{Ba}_{0.3}\text{MnO}_3$  под давлением происходит уменьшение значения угла  $\phi$  (рис. 2б, вставка), в то время как в соединениях  $\text{La}_{0.7}\text{Sr}_{0.3}\text{MnO}_3$ ,  $\text{La}_{0.75}\text{Ca}_{0.25}\text{MnO}_3$  наблюдается его увеличение под давлением. При этом величина  $l$  уменьшается под давлением во всех данных соединениях. Следовательно, отрицательное значение барического коэффициента температуры Кюри в  $\text{Pr}_{0.7}\text{Ba}_{0.3}\text{MnO}_3$  может быть обусловлено уменьшением ширины зоны носителей заряда вследствие уменьшения среднего угла Mn–O–Mn. Температура Нееля в большей степени зависит от среднего значения длины связи Mn–O,  $T_N \sim l^{-14}$  [5], что обуславливает ее положительный барический коэффициент.

Возможной причиной наблюдаемого подавления исходного ФМ-состояния и стабилизации АФМ-состояния А-типа в  $\text{Pr}_{0.7}\text{Ba}_{0.3}\text{MnO}_3$  является анизотропное сжатие кислородных октаэдров. Недавние теоретические и экспериментальные исследования [18, 5] показали, что этот эффект приводит к увеличению заселенности  $d(x^2 - z^2)$   $e_g$  орбиталей ионов Mn по сравнению с заселенностью  $d(3y^2 - r^2)$   $e_g$ -орбиталей и АФМ-характеру сверхобменных взаимодействий вдоль направления анизотропного сжатия – оси  $b$ . Это создает преимущественные условия для формирования АФМ-состояния А-типа.

Спектры рамановского рассеяния света  $\text{Pr}_{0.7}\text{Ba}_{0.3}\text{MnO}_3$ , измеренные при различных давлениях и комнатной температуре, показаны на рис. 5. В них присутствуют два хорошо разделенных пика, расположенных на  $\nu \sim 490$  и  $680 \text{ cm}^{-1}$ .

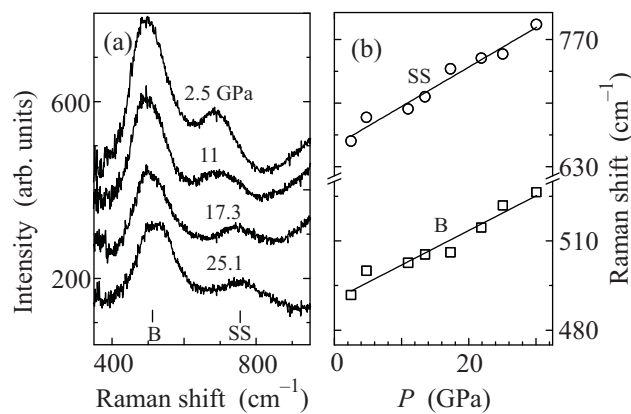


Рис. 5. Спектры рамановского рассеяния света в  $\text{Pr}_{0.7}\text{Ba}_{0.3}\text{MnO}_3$  при различных давлениях и комнатной температуре (a). Барические зависимости частот изгибающей и симметричной растягивающей колебательных мод и их линейная интерполяция (b)

На основе предыдущих исследований [4, 6, 19, 20] можно сделать вывод о том, что пик с  $\nu \sim 490 \text{ cm}^{-1}$  соответствует изгибающей колебательной моде (B) симметрии  $A_g$ , а пик с  $\nu \sim 680 \text{ cm}^{-1}$  – симметричной растягивающей колебательной моде симметрии  $B_{2g}$  (SS) кислородных октаэдров. В исследуемой области давлений до 30 ГПа наблюдается примерно линейное возрастание частот наблюдаемых мод (рис. 5). Расчитанные значения их барических коэффициентов  $k_\nu = (\nu_0/\nu)(d\nu/dP)_T$  составили  $k_B = 0.0024 \text{ ГПа}^{-1}$ ,  $k_{SS} = 0.0066 \text{ ГПа}^{-1}$ . Данные величины сравнимы с аналогичными значениями, полученными для  $\text{Pr}_{0.7}\text{Ca}_{0.3}\text{MnO}_3$  [4]. В фазе высокого давления интенсивность растягивающей моды SS заметно уменьшается по сравнению с интенсивностью изгибающей моды B (рис. 5). В случае идеальной кристаллической структуры симметрии  $I\bar{m}ma$  мода SS является запрещенной. Однако локальные ян-теллеровские искажения приводят к понижению реальной симметрии и присутствию данной моды в спектрах [4, 21]. Уменьшение интенсивности этой моды указывает на подавление локальных ян-теллеровских искажений.

**4. Заключение.** Результаты настоящей работы показывают, что воздействие высокого давления в  $\text{Pr}_{0.7}\text{Ba}_{0.3}\text{MnO}_3$  приводит к подавлению исходного ФМ-состояния и появлению АФМ-состояния А-типа, обусловленному анизотропным сжатием кислородных октаэдров. Температура Кюри уменьшается с отрицательным барическим коэффициентом  $-2.3 \text{ К/ГПа}$ , а температура Нееля увеличивается с положительным барическим коэффициентом  $8 \text{ К/ГПа}$ . Наблюданное барическое поведение  $T_C$  заметно отличается

чается от других мanganитов близкого состава с ортотромбической структурой симметрии  $Pnma$  и ромбодиэдрической структурой симметрии  $R\bar{3}c$ , где под давлением наблюдается увеличение температуры Кюри с большими значениями барических коэффициентов.

Уменьшение интенсивности симметричной растягивающей колебательной моды при высоких давлениях указывает на подавление локальных статических ян-теллеровских искажений кристаллической структуры.

Работа выполнена при поддержке гранта Президента РФ # МД-696.2010.2 и госконтрактов # 02.740.11.0542 и 16.518.11.7029.

1. Y. Tokura, *Colossal Magnetoresistance Oxides*, Gordon and Breach, N.Y. (2000).
2. E. Dagotto, T. Hotta, and A. Moreo, *Phys. Rep.* **344**, 1 (2001).
3. Д. П. Козленко, С. Е. Кичанов, В. И. Воронин и др., Письма в ЖЭТФ **82**, 501 (2005).
4. Д. П. Козленко, Т. А. Чан, С. Е. Кичанов и др., Письма в ЖЭТФ **92**, 654 (2010).
5. Д. П. Козленко, Б. Н. Савенко, ЭЧАЯ **37**(7), 5 (2006).
6. A. Congeduti, P. Postorino, E. Caramagno et al., *Phys. Rev. Lett.* **86**, 1251 (2001).
7. D. P. Kozlenko, I. N. Goncharenko, B. N. Savenko et al., *J. Phys.: Condens. Matter* **16**, 6755 (2004).
8. С. В. Труханов, В. А. Хомченко, Л. С. Лобановский и др., ЖЭТФ **130**, 1 (2006).
9. P. G. Radaelli, G. Iannone, M. Marezio et al., *Phys. Rev. B* **56**, 8265 (1997).
10. N. A. Dubrovinskaia and L. S. Dubrovinsky, *Rev. Sci. Instrum.* **74**, 3433 (2003).
11. A. P. Hammersley, S. O. Svensson, M. Hanfand et al., *High Press. Res.* **14**, 235 (1996).
12. J. Rodriguez-Carvajal, *Physica B* **192**, 55 (1993).
13. V. L. Aksenov, A. M. Balagurov, V. P. Glazkov et al., *Physica B* **265**, 258 (1999).
14. В. П. Глазков, И. Н. Гончаренко, Физика и техника высоких давлений **1**, 56 (1991).
15. V. B. Zlokazov and V. V. Chernyshev, *J. Appl. Cryst.* **25**, 447 (1992).
16. F. J. Birch, *J. Geophys. Res.* **91**, 4949 (1986).
17. A. B. Beznosov, V. A. Desnenko, E. L. Fertman et al., *Phys. Rev. B* **68**, 054109 (2003).
18. Z. Fang, I. V. Solovyev, and K. Terakura, *Phys. Rev. Lett.* **84**, 3169 (2000).
19. Md. M. Seikh, A. K. Sood, and C. Narayana, *Pramana, J. Phys.* **64**, 119 (2005).
20. M. V. Abrashev, J. Backstrom, L. Borjesson et al., *Phys. Rev. B* **65**, 184301 (2002).
21. E. Granado, J. A. Sanjurjo, C. Rettori et al., *Phys. Stat. Sol. (b)* **220**, 609 (2000).